

## پروتئین کیناز C مهار بازسازی میلین در دمیالیناسیون موضعی القا شده در کیاسمای بینایی موش را میانجی‌گری می‌کند

فرشته پورعبدالحسن<sup>۱</sup>، محمد جوان<sup>۲\*</sup>، سید جواد میر نجفی زاده<sup>۳</sup>، سمانه دهقان<sup>۱</sup>، محمدمین شرافت<sup>۴</sup>، صباح مظفری<sup>۴</sup>، ابوالحسن احمدیانی<sup>۵</sup>

### خلاصه

**سابقه و هدف:** پروتئین‌های مهاری موجود در میلین با فعال کردن PKC، ترمیم آکسونی در مغز بالغین را محدود می‌کنند. اگر چه مهار PKC، توانایی پروتئین‌های میلین را در مهار رشد آکسونی کاهش می‌دهد، ولی نقش و مکانیسم آن در مهار بازسازی میلین تاکنون ناشناخته است. با توجه به درگیر شدن دستگاه بینایی در بیماری MS، هدف از این مطالعه بررسی اثر مهار PKC در بازسازی میلین کیاسمای موش‌های دمیالینه شده با لیزولستین می‌باشد.

**مواد و روش‌ها:** با تزریق یک میکرولیتر لیزولستین دمیالیناسیون در کیاسمای موش نر القاء شد و تزریق روزانه داخل بطنی مهار کننده پروتئین کیناز C (Gö6976) تا ۱۴ روز پس از القاء ادامه یافت. الگوی دمیالیناسیون و رمیلیناسیون در کیاسمای بینایی با رنگ آمیزی اختصاصی میلین و با استفاده از ثبت پتانسیل برانگیخته بینایی (VEP) انجام شد.

**نتایج:** در حیوانات دریافت کننده لیزولستین به تنهایی بیشترین دمیالیناسیون در روزهای ۳ و ۷ پس از تزریق مشاهده شد و رمیلیناسیون کمی هم در روز ۱۴ دیده شد، اما در حیواناتی که با مهارگر پروتئین کیناز C نیز تیمار شده بودند، دمیالیناسیون کمی در روز ۳ پس از تزریق مشاهده شد و رمیلیناسیون در روزهای ۷ و ۱۴ افزایش یافت. در داده‌های حاصل از ثبت VEP نیز در گروه آسیب، بیشترین تاخیر موج P در روزهای ۳ و ۷ بود که در روز ۱۴ برگشت به سمت نرمال داشت، ولی در گروه تیمار میزان تاخیر موج P در روزهای ۳ و ۷ به شکل قابل ملاحظه‌ای کاهش داشت.

**نتیجه‌گیری:** به نظر می‌رسد فعالیت پروتئین کیناز C در مهار ترمیم درون‌زاد میلین نقش بارزی داشته و مهار آن به عنوان یک راه‌کار درمانی جدید برای پیشبرد فرایند رمیلیناسیون در بیماری‌هایی مثل ام‌اس، قابل استفاده باشد.

**واژگان کلیدی:** دمیالیناسیون، میلین، آنزیم پروتئین کیناز C، کیاسمای بینایی، ام‌اس، موش سوری

فصلنامه علمی - پژوهشی فیض، دوره چهاردهم، شماره ۴، زمستان ۱۳۸۹، صفحات ۳۷۹-۳۶۹

### مقدمه

مبتلا به MS سیستم بینایی درگیر است [۳]. ممکن است به‌دنبال دمیالیناسیون یک رمیلیناسیون ناقص و خود به خودی داشته باشیم که پاسخ ترمیمی ذاتی به‌دنبال از دست رفتن میلین بین گره‌های رانویه است و با جایگزین صفحه میلینی جدید بین گره‌ها می‌تواند عملکرد هدایت عصبی از دست رفته را جبران کند [۴]. در واقع گزارش شده است که برخی از آسیب‌های مغزی در بیماری MS توسط اولیگودندروسیت‌ها [۵] و شوان سل‌ها [۶] رمیلینه می‌شود؛ اگرچه بیشترین قسمت آسیب‌ها، دمیالیناسیون وسیعی بدون ترمیم میلین را نشان داده‌اند [۷]. علت این ترمیم ناموفق آکسونی در سیستم عصبی مرکزی نه‌تنها به عدم کفایت ترمیم ذاتی نورون‌های بالغ نسبت داده شده، بلکه مواجهه محیطی این آکسون‌های آسیب دیده با میلین هم می‌تواند دلیل دیگری باشد [۸]. شواهد زیادی ارائه شده است که قسمت عمده فعالیت مهاری در محیط CNS به اجزای پروتئینی موجود در میلین و مولکول‌های اسکار گلیایی در محل آسیب مربوط است [۹]. سه پروتئین مهاری عمده در میلین موجود در سیستم عصبی مرکزی شناسایی شده است که عبارتند از: گلیکوپروتئین وابسته به میلین (MAG) [۱۰]؛ Nogo A [۱۱]، و پروتئین میلین اولیگودندروسیتی (OMgp) [۱۲]. مطالعات اخیر

آکسون سلول‌های عصبی در سیستم عصبی مرکزی (CNS) پستانداران بالغ، توانایی ذاتی کمی برای ترمیم پس از آسیب دارند [۱]. مولتیپل اسکلروزیس (MS) یک بیماری مزمن التهابی CNS است که مهمترین شاخص آن دمیالینه شدن اعصاب محیطی و مرکزی، آسیب آکسونی و از دست رفتن آنها می‌باشد و در نتیجه اختلالات عصبی متعددی متناسب با آن ظاهر می‌شود [۲]. فقدان یا نقص بینایی، یکی از علایم اولیه بیماری است که حتی قبل از تشخیص بیماری نیز بروز می‌کند. در بیش از ۷۰ درصد بیماران

<sup>۱</sup> دانشجوی دکترا، گروه فیزیولوژی، دانشکده علوم پزشکی، دانشگاه تربیت مدرس، تهران

<sup>۲</sup> دانشیار، گروه فیزیولوژی، دانشکده علوم پزشکی، دانشگاه تربیت مدرس، تهران

<sup>۳</sup> استاد، گروه فیزیولوژی، دانشکده علوم پزشکی، دانشگاه تربیت مدرس، تهران

<sup>۴</sup> کارشناسی ارشد، گروه فیزیولوژی، دانشکده علوم پزشکی، دانشگاه تربیت مدرس، تهران

<sup>۵</sup> استاد، مرکز تحقیقات علوم اعصاب، دانشگاه علوم پزشکی شهید بهشتی، تهران

### \* نشانی نویسنده مسوول:

تهران، دانشگاه تربیت مدرس، دانشکده علوم پزشکی، گروه فیزیولوژی

تلفن: ۰۲۱ ۸۲۸۸۴۵۲۲ | دورنویس: ۰۲۱ ۸۲۸۸۴۵۵۵

پست الکترونیک: mjavan@modares.ac.ir

تاریخ دریافت: ۸۹/۴/۱۷ | تاریخ پذیرش نهایی: ۸۹/۸/۹

حیوانات با تزریق داخل صفاقی کتامین (70 mg/kg) و زیلازین (10 mg/kg) که در محلول استریل سالین 0/9 درصد رقیق شدند، بیهوش می‌شدند. دمی‌ناسیون با تزریق محلول 1 درصد لیزولسیتین (سیگما، USA) در محلول استریل سالین 0/9 درصد با حجم 1 میکرولیتر در کپسول بینایی القا می‌شد [17].

موش‌ها با موقعیت سر کاملاً صاف در دستگاه استریوتاکس (Steolting, USA) قرار می‌گرفتند و 1 میکرولیتر از محلول 1 درصد لیزولسیتین با سرنگ همیلتون 10 ml به کپسول بینایی تزریق می‌شد. موقعیت کپسول با استفاده از اطلس موش: 3/9 mm جلوی لامبدا با موقعیت جانبی صفر نسبت به لامبدا و با عمق 1 mm از دورا بود [18]. در حیوانات گروه کنترل با همان مشخصات اطلس و حجم یکسان سالین تزریق می‌شد. لیزولسیتین یا سالین با سرعت یک میکرولیتر در دقیقه با استفاده از پمپ (Steolting, USA) تزریق شد. جهت اطمینان از فراهم نمودن زمان لازم برای انتشار لیزولسیتین، سوزن تزریق به مدت 5 دقیقه در محل تزریق نگه داشته می‌شد. مطالعه با تزریق رنگ کوماسی بلو 2 درصد در کپسول بینایی، جهت یافتن موقعیت دقیق تزریق متناسب با مشخصات اطلس و همچنین تخمین تقریبی میزان انتشار رنگ در محل تزریق انجام شد (داده‌ها نشان داده نشده‌اند).

#### کانول گذاری داخل بطن مغزی

جهت تزریق داخل بطنی داروی GÖ6976، مهارگر PKC (sigma, USA) لازم بود که حیوانات کانول گذاری شوند. دارو هر روز با دوز 2/5 nmol/animal/day با حجم 5 میکرولیتر تزریق می‌شد. برای کانول گذاری ابتدا حیوانات را با روش فوق بیهوش کرده و در دستگاه استریوتاکس قرار می‌گرفتند. جایگاه کانول با توجه به مشخصات اطلس موش [18]، 3/7 mm جلوی لامبدا، 1/1 mm جانبی نسبت به لامبدا و با عمق 2/2 mm نسبت به دورا بود که مجموعه توسط دریل سوراخ شده و کانول مورد نظر با مشخصات فوق با عمق 1 mm در بطن راست گذاشته شده و توسط سیمان دندان پزشکی ثابت می‌شد. حیوانات با توجه به پروتکل، دارو را از طریق کانول داخل بطنی روزانه دریافت می‌کردند [19]. حلال دارو سالین با درصد بسیار ناچیز (0/02 درصد) DMSO بود.

#### گروه‌های آزمایشی

مطالعه 1: بررسی عملکرد میلیناسیون (دمیلیناسیون و رمی‌لیناسیون) و عوامل مداخله در حیوان زنده با استفاده از ثبت الکتروفیزیولوژیک VEP. در این مطالعه 12 گروه آزمایشی داشتیم (در هر گروه  $n \geq 6$  می‌باشد). 3 گروه اول (کنترل)، حیواناتی بودند که 1 میکرولیتر سالین به کپسول و 5 میکرولیتر سالین به صورت

نشان داده‌اند که هر سه آنها از طریق یک گیرنده مشترک به نام گیرنده Nogo (NgR) عمل می‌کنند و با فعال نمودن Rho-GTPase، به ویژه Rho A و هم‌چنین پروتئین کیناز C (PKC) می‌توانند رشد مخروط آکسونی و ترمیم عصبی و میلین را مهار کنند [13، 14]. غیر فعال کردن مسیر سیگنالینگ Rho A و افکتورهای آن می‌تواند رشد نوریت‌ها را افزایش دهد [1]. رمی‌لیناسیون در CNS توسط سلول‌های بنیادین چندتوانی و سلول‌های پیش ساز اولیگودندروسیتی (OPCs) میانجی‌گری می‌شود، اما در بیماری MS به دلایلی که هنوز ناشناخته است، موفق نیست. برخی شواهد نشان می‌دهند که تمایز OPC ها به اولیگودندروسیت‌های بالغ به علت حضور مهارکننده‌های میلینی در محل آسیب مهار می‌شود و این می‌تواند یکی از دلایل شکست رمی‌لیناسیون در بیماری‌هایی نظیر MS باشد [13]. Baer و همکارانش نشان دادند که مهار وابسته به میلین تمایز OPC ها می‌تواند به علت فعال شدن مسیر سیگنالینگ Rho A-ROCK و کیناز وابسته به آن و یا مسیر سیگنالینگ PKC باشد [13]. لیزولسیتین آنالوگی از لیزوفسفاتی‌دیل کولین با اثر دترجنتی است و به‌طور ویژه روی سلول‌های میلینه کننده اثر می‌گذارد [14]، باعث حل شدن چربی شده و در ماده سفید CNS موش بالغ دمی‌لیناسیون را القا می‌کند [15]. در مقایسه با سایر سموم مثل اتیدیوم پروماید، بیشترین اثر آن روی سلول‌های میلینه کننده است و اثر سمی کمتری روی سایر سلول‌ها، نظیر آستروسیت‌ها دارد؛ بنابراین می‌تواند با القای دمی‌لیناسیون و به دنبال آن ترمیم احتمالی را ایجاد کند و برای القای مدل موضعی دمی‌لیناسیون ماده مناسبی است [16]. در این مطالعه کپسول بینایی به جهت درگیری فراوان آن در بیماری ام.اس. جهت القای دمی‌لیناسیون موضعی با لیزولسیتین انتخاب شده و الگوی دمی‌لیناسیون و رمی‌لیناسیون در کپسول موش بالغ در حضور و عدم حضور مهارگر PKC بررسی گردید.

#### مواد و روش‌ها

##### حیوانات

در این تحقیق از موش‌های نر نژاد C57/BLJ6 در محدوده وزنی 25-30 گرم (خریداری شده از موسسه پاستور، کرج) استفاده شد. حیوانات در شرایط تاریکی/روشنایی 12 ساعته با دمای کنترل شده ( $22 \pm 2^\circ\text{C}$ ) و بدون محدودیت دسترسی به آب و غذا نگهداری شدند. کلیه آزمایشات روی حیوانات با رعایت اصول اخلاقی و ثبت شده بین المللی کار با حیوانات آزمایشگاهی که مورد تأیید کمیته اخلاق دانشگاه تربیت مدرس بود، انجام شد.

##### القای موضعی دمی‌لیناسیون

محلول پارافرمالدهید ۴ درصد به مدت یک شب در دمای ۴°C قرار داده شد، سپس بافت مغز در فرایند پردازش بافتی قرار گرفت. پس از آب گیری با سری الکلی های ۵۰ تا ۱۰۰ درصد هر کدام یک ساعت و شفاف سازی با زایلول (۲ بار ۴۵ دقیقه)، نمونه ها بین ۶-۳ ساعت در پارافین با دمای ۶۰°C انکوبه شده و در انتها بلسوک-های پارافینی از مغز تهیه شده و جهت برش گیری آماده گردید. برش های کروئال به صورت سریال و به ضخامت ۶ میکرون از ناحیه کیاسما و اعصاب بینایی تهیه گردیده و روی لام هایی که از قبل با چسب پلی لایزین آغشته شده بود، قرار داده شدند.

رنگ آمیزی دوگانه اختصاصی میلین توسط لوگول فست بلو و کرزیل فست ویوله (Cresyl Fast Violet)

بیست و یک برش کروئال تهیه شده از کیاسمای هر حیوان جهت رنگ آمیزی انتخاب شد. برای شفاف سازی و حذف پارافین نمونه ها به مدت ۱۰ دقیقه، سه بار در محلول زایلول قرار گرفته و سپس مرحله آب دهی بافتی که شامل عبور از الکلی مطلق و ۹۵ درصد به مدت ۵ دقیقه بود و سپس آنها در محلول از قبل آماده شده LFB ۰/۸ درصد (British drug house, UK) حل شده در الکلی ۹۵ درصد به مدت ۳ ساعت در حمام بافتی با دمای ۴°C قرار گرفتند. پس از آن در الکلی ۹۵ درصد به مدت ۱۰ دقیقه و برای کنتراست مناسب آنها را در حد ۲۰ ثانیه در لیتیوم بی کربنات ۰/۰۵ درصد قرار داده و به دنبال آن چند بار در الکلی ۷۰ درصد قرار گرفتند [۲۰]. بعد از شستشو با آب مقطر آنها در CFV (Merck, Germany) ۰/۱ درصد به مدت ۳ دقیقه گذاشته شده و بعد از شست و شوی نمونه ها با آب مقطر، دوبار در الکلی ۹۵ درصد و ۱۰۰ درصد آب گیری کرده و پس از شفاف سازی نهایی بافتی در زایلول دو بار به مدت ۱۰ دقیقه قرار می گیرند. در نهایت نمونه ها با استفاده از چسب اتانل (Merck, Germany) روی لام ثابت می شوند.

تهیه تصویر از لام نمونه ها و آنالیز تصاویر

تصاویر از ۲۱ نقطه مشخص از برش های سریال از کیاسمای بینایی (در محدوده تقریبی ۱۲۰ میکرون جلوی برگما تا ۹۸۰ میکرون پشت برگما) توسط میکروسکوپ نوری Olympus مدل AX70 و دوربین مدل DP50 تهیه و آنالیز شد. وسعت دمیلیتاسیون با استفاده از نرم افزار Image J اندازه گیری و کمی شد و در هر تصویر نسبت وسعت ناحیه دمیلیت به کل سطح ناحیه مورد نظر (کیاسما) اندازه گیری گردید [۲۱، ۲۰]. داده های به دست آمده از هر حیوان میانگینی از کل ۲۱ نقطه به دست آمده بود و در هر گروه آزمایشی حداقل ۳ حیوان تکرار شد (n=۳).

داخل بطنی دریافت می کردند و در روزهای ۳، ۷ و ۱۴ پس از تزریق ثبت گرفته می شد. ۳ گروه بعدی حیواناتی بودند که ۱ میکرولیتر لیزولستین ۱ درصد در کیاسمای آنها تزریق می شد و در روزهای ۳، ۷ و ۱۴ پس از تزریق ثبت گرفته می شد. ۳ گروه بعد حیواناتی بودند که علاوه بر تزریق لیزولستین در کیاسما، روزانه مهارگر PKC (GO6976) را با دوز ۲/۵ nmol/animal/day با حجم ۵ میکرولیتر دریافت کرده و در روزهای ۳، ۷ و ۱۴ پس از تزریق ثبت گرفته می شد. و در نهایت ۳ گروه شم که در حیوانات این گروه سوزن تزریق را تا کیاسما برده ولی تزریقی صورت نمی گرفت و در روزهای ۳، ۷ و ۱۴ پس از آن ثبت گرفته می شد که این گروه برای بررسی اثر آسیب ناشی از سوزن انجام شد.

مطالعه ۲: بررسی میزان دمیلیتاسیون (دمیلیتاسیون و رمیلیتاسیون) با استفاده از مطالعات بافت شناسی (رنگ آمیزی Luxol Fast Blue) بود که در این مطالعه ۷ گروه آزمایشی داشتیم (در هر گروه  $n \geq 3$  می باشد). در ۳ گروه از حیوانات ۱ میکرولیتر لیزولستین ۱ درصد در کیاسمای تزریق شد و در روزهای ۳، ۷ و ۱۴ پس از تزریق، نمونه بافتی جهت رنگ آمیزی میلین خارج گردید. ۳ گروه دیگر حیواناتی بودند که علاوه بر تزریق لیزولستین در کیاسما روزانه مهارگر PKC (GO6976) را با دوز ۲/۵ nmol/animal/day با حجم ۵ میکرولیتر به صورت داخل بطنی دریافت کرده و در روزهای ۳، ۷ و ۱۴ پس از تزریق، نمونه بافتی جهت رنگ آمیزی میلین خارج شد. برای بررسی اثر تزریق حلال لیزولستین در گروه هفتم (سالمین) ۱ میکرولیتر سالمین به کیاسما و ۵ میکرولیتر سالمین به صورت داخل بطنی تزریق شد و در روز ۷ پس از تزریق (این روز معادل زمان حداکثر دمیلیتاسیون در گروه دریافت کننده لیزولستین است)، نمونه بافتی جهت رنگ آمیزی میلین خارج می شد. با توجه به عدم بروز دمیلیتاسیون در این روز، احتمال دمیلیتاسیون ناشی از تزریق سالمین در روزهای ۳ و ۱۴ بررسی نشد.

پردازش بافت مغزی

موش ها در گروه های آزمایشی مختلف در روزهای مورد نظر (۳، ۷ و ۱۴ روز پس از تزریق) با تزریق داخل صفاقی دوزهای بالای کتامین و زایلازین به طور عمقی بیهوش شدند و عمل پرفیوژن از طریق بطن چپ قلب انجام شد. در ابتدا ۲۵ ml بافر فسفات (PBS) ۰/۱ مولار با pH: ۷/۴ به بطن چپ حیوان تزریق شده و پس از خارج شدن تمامی خون موجود در عروق از دهلیز راست، میزان ۵۰ ml محلول پارافرمالدهید ۴ درصد در محلول PBS ۰/۱ مولار با pH: ۷/۴ به منظور تثبیت اولیه بافت از طریق بطن چپ وارد دستگاه گردش خون حیوان می شد، سپس مغز حیوان از مجامه خارج می گردید. برای فیکس شدن بهتر، بافت در

ناحیه‌ای به طول  $1200-800 \mu\text{m}$  منتشر شود. هم‌چنین، محل تزریق طبق اطلس مغز موش حدود  $3/9 \text{ mm}$  جلوی لامبدا و با عمق  $5/75 \text{ mm}$  نسبت به دورا بود [۱۸]. بیست و یک مقطع کروئال با فواصل برابر برای آنالیز کمی دمیلیناسیون القا شده با لیزولستین و ترمیم حاصل از آن در حضور و عدم حضور مهارگر PKC انتخاب شد. وسعت دمیلیناسیون در روزهای ۳، ۷ و ۱۴ پس از تزریق LPC بررسی و آنالیز شد (تعداد حیوانات در هر گروه حداقل ۳ سر بود). دمیلیناسیون در کیاسما و عصب بینایی گروهی که سالی‌ن دریافت کرده بودند مشاهده نشد (شکل ۱-۱A). آنالیز مقاطع مغزی برای تعیین وسعت دمیلیناسیون در گروه LPC نشان داد که حداکثر وسعت دمیلیناسیون در روز ۷ پس از تزریق مشاهده می‌شود (شکل ۱-۱B). در روز ۱۴ پس از تزریق وسعت دمیلیناسیون به‌طور قابل توجهی کاهش یافت و این پدیده در شکل شماره ۱، بخش B قابل مشاهده است. در حیواناتی که مهارگر PKC را دریافت کرده بودند، دمیلیناسیون خفیفی در روزهای ۳ و ۷ مشاهده شد که به صورت چشمگیری در مقایسه با گروه‌های لیزولستین کاهش یافته بود و در روز ۱۴ در همین گروه دمیلیناسیون قابل تشخیص نبود (شکل شماره ۱-۱C). آنالیز داده‌ها کاهش قابل توجهی در وسعت آسیب در روزهای ۳، ۷ و ۱۴ پس از تزریق در گروه دریافت کننده مهارگر PKC را نشان داد. در مقایسه با روز ۷ گروه لیزولستین، که بیشترین وسعت دمیلیناسیون را داشت، میزان کاهش وسعت آسیب در گروهی که مهارگر PKC را دریافت کرده بود، در روز ۳ با  $P < 0.05$  و در روزهای ۷ و ۱۴ با  $P < 0.001$  معنی دار بود. تعداد حیوانات در همه گروه‌های آزمایشی حداقل ۳ بود (شکل شماره ۱-۱D).

ارزیابی دمیلیناسیون القا شده با لیزولستین و ترمیم بعد از آن در گروه‌های مختلف با تکنیک VEP

ثبت VEP می‌تواند جهت بررسی عملکرد مسیره‌های بینایی شامل: اعصاب و کیاسمای بینایی و حتی قشر بینایی مورد استفاده قرار گیرد. در این مطالعه برای ارزیابی عملکردی میزان دمیلیناسیون و رمیلیناسیون، VEP ثبت و آنالیز شد. شکل ۲-۱A نمونه‌ای از موج ثبت شده در حیوانات گروه کنترل همراه با اجزای آن را نشان می‌دهد. اجزای امواج VEP ثبت شده از قشر پس سری موش شامل: P1-N1، P2-N2، P3-N3 می‌باشد، اجزای P1-N1 دارای ثبات بیشتر بوده و برای اندازه‌گیری هدایت موج در سیستم بینایی قابل اعتماد است. در اینجا تاخیر موج P1 به عنوان شاخص هدایت سیستم بینایی در نظر گرفته شد. در مقایسه گروه کنترل با گروه‌های لیزولستین، بیشترین افزایش در زمان تاخیر موج P در روز ۷ پس از تزریق بود ( $P < 0.001$ )، اما در گروه‌هایی که

ثبت الکتروفیزیولوژیک پتانسیل برانگیخته بینایی (VEP) استفاده از میانگین گیری سیگنال‌های حاصل از فعالیت الکتروانسفالوگرافیک ثبت شده از مجموعه به‌دست می‌آید. VEP می‌تواند اطلاعات مهم تشخیصی در مورد یکپارچگی عملکرد بینایی تهیه کند. مراحل جراحی و الکتروود گذاری مشابه روش‌هایی است که قبلاً توصیف شده است [۲۳، ۲۲]. به‌طور خلاصه، حیوان طبق روش بالا بیهوش شده و سر حیوان در دستگاه استریوتاگس ثابت می‌شود. برای تسهیل ثبت VEP یک الکتروود تک قطبی از جنس استیل زنگ زن در ناحیه پس سری مجموعه کاشته می‌شود (A: 0, L:  $\pm 3\text{mm}$ ) نسبت به لامبدا [۱۸]. در انتهای قدامی مجموعه هم الکتروود مرجع گذاشته شده و الکتروودها توسط سیمان دندان پزشکی در مجموعه ثابت می‌شوند. برای ثبت ابتدا حیوان بی حرکت شده را در یک جعبه تاریک به مدت ۱۰ دقیقه قرار داده تا با تاریکی سازش پیدا کند و سپس محرک نوری (فلش) که توسط دستگاه مولد تحریک (SMP-3100, Nihon Kohden)  $300$  بار با فرکانس  $1 \text{ Hz}$  تولید می‌شد، با زاویه تابش  $45^\circ$  به هر دو چشم حیوان تابیده می‌شد. شدت نور به‌طور تقریبی  $40 \times$  بود. پاسخ‌های ده هزار برابر تقویت شده، با فیلتر بالا و پایین  $30$  و  $0.08$  هرتز (به ترتیب) با آمپلی فایر بیوفیزیکی تنظیم می‌شد (AVB-10, Nihon Kohden). امواج تقویت شده سپس میانگیری شده (DAT-1100, Nihon Kohden) و توسط نرم افزار Biochart آنالیز می‌شدند. در هر ثبت، تاخیر بین محرک نوری و اولین موج مثبت و یا منفی را اندازه‌گیری می‌کردیم (P-Latency).

## آنالیز آماری

تفاوت میان گروه‌ها در آزمایشات بافت شناسی و ثبت VEP توسط آزمون ANOVA و پس آزمون Tukey با نرم افزار GraphPad prism 5 مورد بررسی قرار گرفت. داده‌ها در هر نمودار به صورت ستونی که نشان دهنده  $\text{Mean} \pm \text{SEM}$  است ارائه شده و  $P < 0.05$  از لحاظ آماری معنی‌دار تلقی شد.

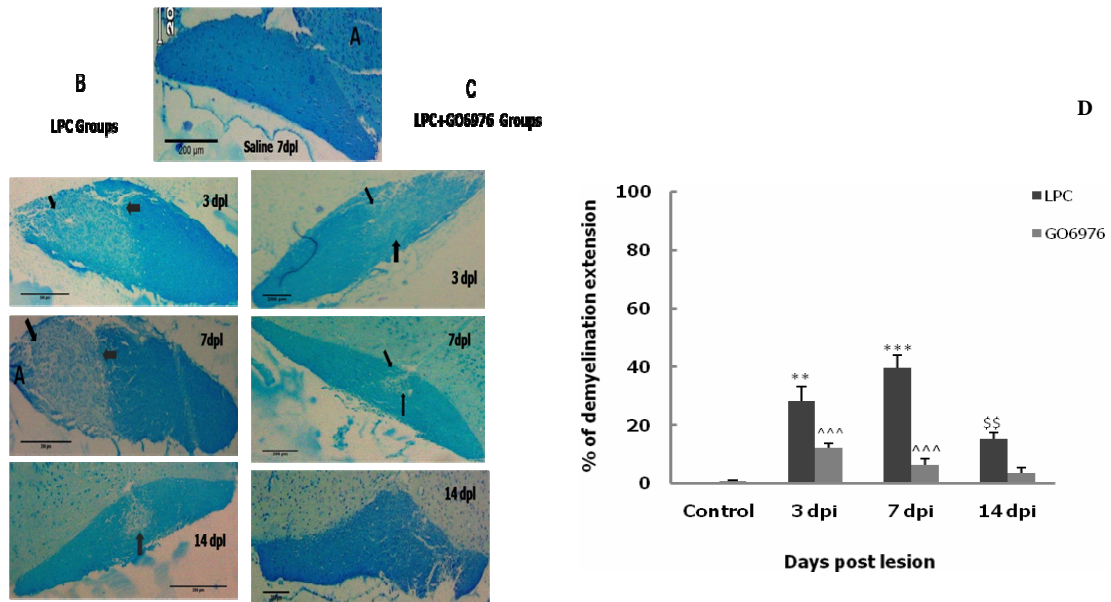
## نتایج

ارزیابی بافت شناسی از دمیلیناسیون القا شده توسط لیزولستین در گروه‌های آزمایشی مختلف

مطالعه با رنگ کوماسی بلو جهت تایید محل تزریق کیاسما نشان داد که، تزریق به کیاسما بدون انتشار به ساختارهای اطراف و مایع مغزی نخاعی دور آن صورت پذیرفته است (داده‌ها نشان داده نشده است). نتایج به‌دست آمده از رنگ آمیزی میلین مقاطع سریال مغز نشان داده است که لیزولستین قادر بوده است در

جراحی بر روی ثبت VEP، ثبت در روزهای مختلف گروه‌های شم و سالم انجام شد که تغییرات معنی داری بین این گروه‌ها مشاهده نشد. داده‌ها در شکل شماره ۴ نمایش داده شده است.

مهارگر PKC را دریافت کرده بودند، تاخیر موج P در روزهای ۳ و ۷ به طور معنی داری نسبت به گروه‌های لیزولستین کاهش یافت ( $P < 0.01$  و  $P < 0.05$ ) (شکل شماره ۳). جهت بررسی اثر

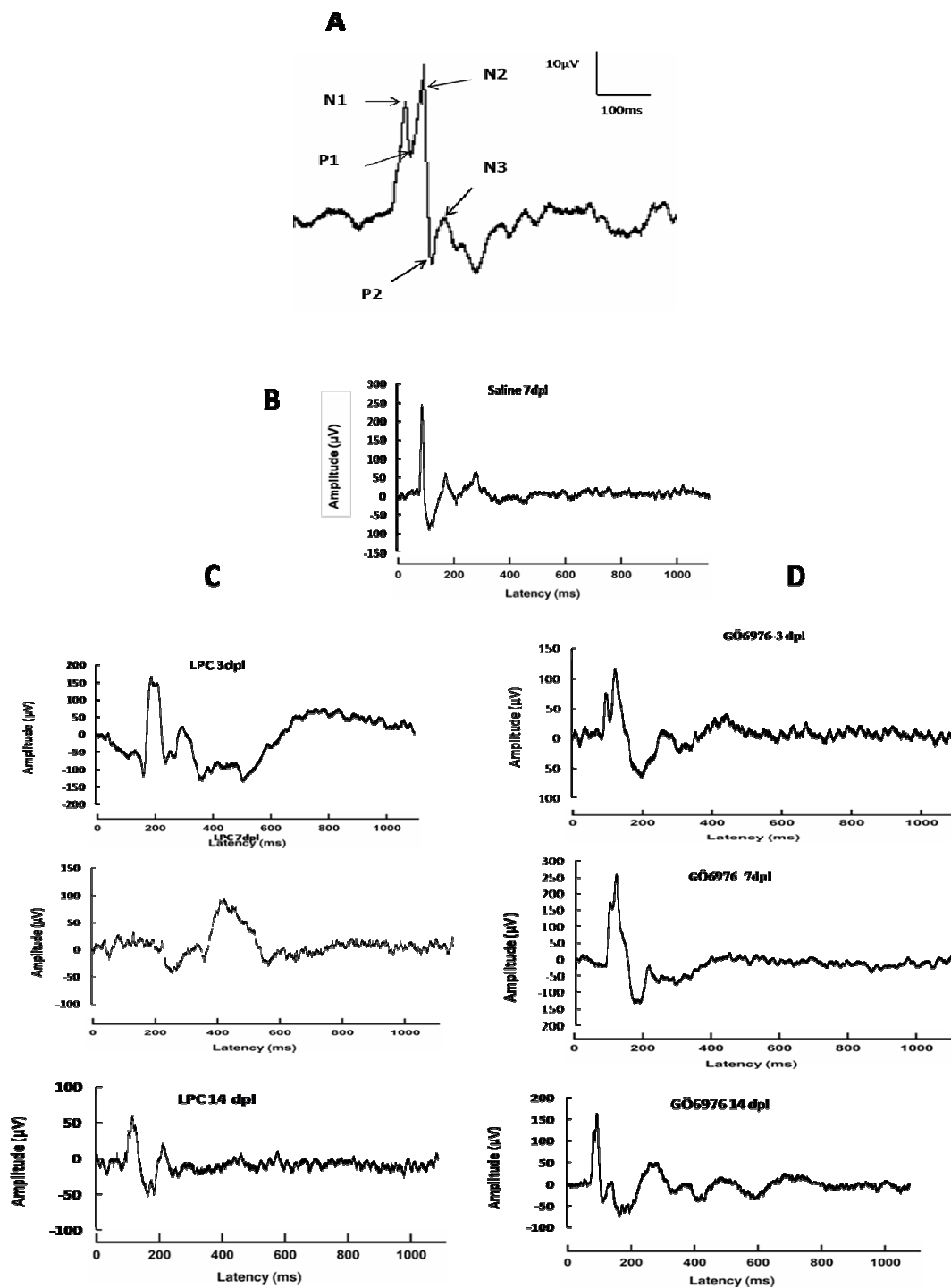


شکل شماره ۱- رنگ آمیزی لوگزول فست بلو (LFB) در مقاطع سریال تهیه شده از مغز حیوانات در گروه‌های و زمان‌های متفاوت. A- مقطع کیاسما در حیوانی که سالین دریافت کرده است. در این حیوانات دمی‌لیناسیون نمی‌شود. B- مقطع کیاسما در گروه‌های لیزولستین در زمان‌های ۳، ۷ و ۱۴ روز پس از تزریق. C- مقطع کیاسما در روزهای ۳، ۷ و ۱۴ پس از تزریق در گروه‌هایی که مهارگر PKC را همزمان با القای دمی‌لیناسیون دریافت کرده اند (Scale bar در همه عکس‌ها ۲۰۰ میکرومتر است). D- این گراف مقایسه بین گروه‌های مختلف را نشان می‌دهد. تعداد حیوانات در هر گروه حداقل ۳ بود. در هر حیوان ۲۱ مقطع سریال انتخاب گردیده و میزان وسعت دمی‌لیناسیون در آن به صورت میانگین این مقاطع بیان شد که در هر مقطع حاصل: وسعت ناحیه دمی‌لینه به کل ناحیه کیاسما به صورت درصد بیان شده است. در گروه لیزولستین، میزان دمی‌لیناسیون در روز ۳ و ۷ به ترتیب ( $P < 0.01$ ،  $P < 0.01$ ) نسبت به کنترل (حیوانات تزریق نشده) معنی‌دار بود و حداکثر دمی‌لیناسیون در روز ۷ بود. در همین گروه در روز ۱۴ کاهش وسعت دمی‌لیناسیون نسبت به روز ۷ با  $P < 0.01$  معنی‌دار بود. اما گروه‌هایی که مهارگر PKC دریافت کرده بودند در مقایسه با گروه لیزولستین کاهش قابل توجهی در میزان دمی‌لیناسیون در روزهای ۳ و ۷ نشان دادند (هر دو  $P < 0.01$ ). در مقایسه با روز ۷ گروه لیزولستین که بیشترین دمی‌لیناسیون را داشت، مهار PKC وسعت دمی‌لیناسیون در روز ۳ و ۷ را کاهش داد ( $P < 0.01$ ). تمام مقادیر  $P$  با آزمون Tukey حاصل شده است و هر ستون Mean±SEM را نشان می‌دهد.

و همچنین درگیر بودن این ناحیه در بیماری MS، جهت القای مدل موضعی دمی‌لیناسیون با لیزولستین انتخاب گردید. VEP یک روش در دسترس و غیر تهاجمی است که برای ارزیابی سیستم بینایی قابل اعتماد است [۲۵]. استفاده کلینیکی از VEP برای تشخیص پاتولوژی‌های بینایی به‌خوبی پایه گذاری شده است. به‌علاوه این تکنیک به‌عنوان یک روش حساس برای تعیین تغییرات اولیه در مسیر بینایی در مدل‌های دمی‌لیناسیون یا MS تایید شده است و یک روش مناسب برای بررسی سیستم بینایی در انسان است [۲۶].

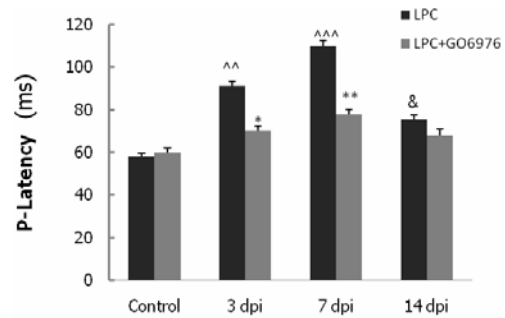
### بحث

امروزه واضح است که آسیب آکسونی نورون‌ها در بیماری MS و مدل‌های حیوانی آن یکی از دلایل ناتوانی‌های کلینیکی ناشی از بیماری است. یافته‌های اخیر نشان می‌دهند که با ختنی سازی فعالیت مهارکننده‌های میلی‌در محیط، می‌شود از آسیب آکسونی جلوگیری و یا ترمیم آنها را تسریع کرد [۲]. مسیر بینایی موش یک مدل عالی جهت مطالعات عملکردی، بیوشیمیایی و سلولی (گلیوژنز و میلینوژنز) را ایجاد می‌کند [۲۴]. در این مطالعه کیاسمای بینایی موش به‌جهت مهم بودن آن در مسیر بینایی



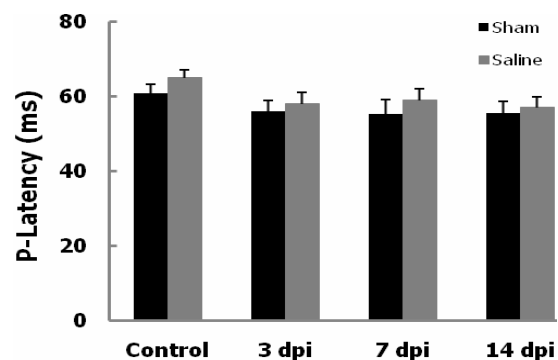
شکل شماره ۲- مقایسه ثبت‌های VEP در گروه‌های مختلف آزمایشی. A- یک ثبت نمونه از حیوان سالم با شرح جزئیات، طبق قرار داد اولین موج بالا رو، N1 و اولین موج پایین رو، P1 نامیده می‌شود و باقی موج‌ها هم به ترتیب با تغییر اعداد نام گذاری می‌شوند. در اینجا فاصله بین تحریک و موج P1 به‌عنوان شاخص هدایت اندازه‌گیری گردید. B- نمونه یک ثبت در گروه سالین ۷ روز پس از تزریق است که به لحاظ تاخیر موج P با موش سالم تفاوتی ندارد. C- نمونه ثبت‌های VEP در روزهای مختلف پس از تزریق لیزولسیتین را نشان می‌دهد، بیشترین تاخیر در روز ۷ نسبت به بقیه واضح است. محور عمودی دامنه با واحد  $\mu V$  و محور افقی زمان با واحد ms را نشان می‌دهند. D- نمونه ثبت‌های VEP در روزهای مختلف پس از تزریق لیزولسیتین به‌همراه مهارگر PKC (GÖ6976) روزانه با دوز ۲/۵ نانومول به‌ازای هر حیوان را نشان می‌دهد. کاهش قابل توجه میزان تاخیر موج P در همه روزها مشهود است.

لیزولستین برای القای دمیلیتاسیون موضعی انتخاب شد، زیرا به طور اختصاصی باعث مرگ سلول‌های میلینه کننده و آسیب به میلین می‌شود و از مرگ سایر سلول‌ها مثل آستروسیت‌ها و آسیب آکسونی جلوگیری می‌کند [۲۷]. لیزولستین در مطالعات گذشته نیز جهت القای دمیلیتاسیون موضعی در نواحی مختلف CNS نظیر طناب نخاعی [۷]، پایک تحتانی مخچه [۲۸]، کورپوس کالوزوم [۱۷] و همچنین عصب بینایی [۲۹] استفاده شده است برای ارزیابی دمیلیتاسیون بافتی و به دنبال آن ترمیم احتمالی از رنگ آمیزی اختصاصی میلین Luxol Fast Blue استفاده گردید. اگرچه در بیماری MS رمیلیتاسیون به دنبال دمیلیتاسیون رخ می‌دهد اما اغلب به دلایلی که هنوز ناشناخته است، شکست می‌خورد. با توجه به این که ترمیم میلین در CNS توسط سلول‌های بنیادین درون‌زاد و پیش‌سازهای اولیگودندروسیتی میانجی‌گری می‌شود، شکست تمایز OPC‌ها به سلول‌های میلینه کننده بالغ یکی از دلایل شکست در رمیلیتاسیون است [۱۳]. هم‌چنین نشان داده شده است که پروتئین‌های رها شده از میلین و الیگودندروسیت‌ها حین دمیلیتاسیون در محل آسیب می‌توانند یک اثر مهار کننده قوی روی تمایز OPC بگذارند. [۳۰]. از طرفی سایر مطالعات نشان داده‌اند که مهار وابسته به میلین تمایز OPC با سیگنالینگ Rho A و کیناز مربوط به آن و پروتئین کیناز C میانجی‌گری می‌شود [۱۳]. و همچنین مهار فارماکولوژیکی PKC می‌تواند فرایند ترمیم عصبی و میلین را افزایش دهد [۱۳،۱]. هدف اصلی این مطالعه بررسی اثر مهار PKC روی فرایند ترمیم میلین در مدل موضعی دمیلیتاسیون القا شده با لیزولستین در کیاسمای بینایی بود. همچنین در این مطالعه نتایج حاصل از ثبت VEP توسط مطالعات بافت شناسی تایید شدند. نتایج نشان داد که وسعت دمیلیتاسیون در گروه لیزولستین در روز ۷ پس از تزریق حداکثر بود و با گذشت زمان در روز ۱۴ کاهش یافت. در این زمینه Woodruff و همکارانش گزارش کردند که بیشترین دمیلیتاسیون در مدل حیوانی موش صحرایی در پایک تحتانی مخچه در روز ۱۴ پس از تزریق لیزولستین بوده است [۱۶]. در همین گروه در ثبت VEP نیز بیشترین تاخیر موج P در روز ۷ پس از تزریق لیزولستین بوده که در طول زمان این تاخیر کاهش یافته است؛ یعنی در روز ۱۴ پس از تزریق میزان تاخیر موج P به طرز معنی‌داری نسبت به روز ۷ کاهش یافته و این می‌تواند تاییدی بر داده‌های بافت شناسی باشد. پس هم‌زمان با افزایش دمیلیتاسیون از روز ۳ تا ۷ که به حداکثر میزان خود می‌رسد میزان تاخیر موج P در تست عملکردی VEP افزایش می‌یابد. با کاهش وسعت دمیلیتاسیون در روز ۱۴ داده‌های بافت شناسی، میزان تاخیر موج P نیز کاهش می‌یابد که این موضوع می‌تواند تاییدی بر



Days post lesion

شکل شماره ۳- مقایسه گروه‌های مختلف در ثبت VEP. هر ستون میانگین ۳۰۰ ثبت است و تعداد حیوانات در هر گروه ۶ بود. میزان تاخیر موج P به عنوان شاخص هدایت عصبی اندازه‌گیری شد. در گروه لیزولستین، در روزهای مختلف پس از تزریق در مقایسه با ثبت پایه (کنترل)، میزان تاخیر موج P افزایش یافته بود. تاخیر موج P در روزهای ۳ و ۷ به ترتیب با  $P < 0.01$  و  $P < 0.001$  نسبت به کنترل معنی‌دار بود، اما روز ۱۴، در مقایسه با کنترل تغییر معنی‌داری نشان نداد. این در حالی است که نسبت به روز ۷ که بیشترین تاخیر را داشت، کاهش معنی‌داری در تاخیر موج P نشان داد ( $P < 0.05$ ). اما در گروه‌هایی که مهارگر PKC دریافت کرده بودند، در هیچ روزی تاخیر موج P تغییرات معنی‌داری با تاخیر کنترل نشان نداد. در مقایسه روز ۳ گروه لیزولستین با روز ۳ گروه PKC، میزان کاهش تاخیر موج P با  $P < 0.05$  معنی‌دار بود، همچنین در مقایسه روزهای ۷ کاهش معنی‌دار در گروه PKC مشاهده شد ( $P < 0.01$ ). تمام مقادیر P با آزمون Tukey حاصل شده است و هر ستون Mean±SEM را نشان داده است.



Days post lesion

شکل شماره ۴- در این شکل مقایسه گروه‌های شام و سالم در روزهای مختلف نشان داده شده است. برای اطمینان از صحت ثبت و عدم مداخله فرآیند جراحی و تزریق در ثبت، این مقایسه انجام شد که در این مقایسه هیچ اختلاف معنی‌داری در میزان تاخیر موج P بین گروه‌ها مشاهده نشد. میزان تاخیر کنترل مربوط به ثبت قبل از تزریق است. هر ستون Mean±SEM را نشان داده است.

که فرایند ترمیم در این بازه زمانی باشد. اما در گروهی از حیوانات که علاوه بر القاء دمیلیناسیون با لیزولستین همزمان مهارگر پروتئین کیناز C را نیز دریافت کرده بودند، به ترتیب در روزهای ۳، ۷ و ۱۴ پس از تزریق کاهش قابل ملاحظه‌ای در میزان دمیلیناسیون اتفاق افتاد؛ به طوری که میزان دمیلیناسیون القاء شده در روز ۱۴ بسیار ناچیز بود. به همین ترتیب در داده‌های VEP نیز میزان تاخیر موج P نسبت به گروه‌های لیزولستین کاهش قابل توجهی نشان داد؛ به نحوی که در مقایسه با گروه لیزولستین در روز ۷ که بیشترین تاخیر در موج P را داشت، روزهای ۳، ۷ و ۱۴ گروه‌هایی که مهارگر PKC را دریافت کرده بودند، کاهش معنی‌داری در تاخیر موج P نشان داد که این داده‌ها با تایید بافت شناسی همراه است. همچنین در داده‌های VEP برای حذف اثرات جراحی و الکتروود گذاری روی ثبت، گروه حیوانات سالم با شم مقایسه شدند که هیچ‌گونه تغییرات معنی‌داری بین روزهای ۳، ۷ و ۱۴ پس از جراحی گروه شم و حیوانات سالم در ثبت VEP یافت نشد و این داده‌ها، قابل اعتماد بودن داده‌های VEP را تایید می‌کند. در تایید نتایج حاصل از این مطالعه، Sivasankaran و همکاران با مهار فارماکولوژیک PKC در محیط‌های درون و برون تنی گزارش کردند که میزان ترمیم عصب آسیب دیده افزایش می‌یابد و همچنین مهار PKC اثر مهاری میلین را کاهش می‌دهد [۱]. از طرفی Baer و همکاران با مهار بیان ژن PKC و همچنین مهار فارماکولوژیک PKC داده‌های جالبی را گزارش کردند که می‌تواند تاییدی بر داده‌های ما باشد. این گروه با مهار مسیر سیگنالینگ PKC نشان دادند که تمایز OPC ها به سلول‌های میلین ساز بالغ افزایش می‌یابد. بنابراین PKC می‌تواند یکی از میانجی‌گرهای مهاری کلیدی در میلین سازی باشد، زیرا فعال شدن آن در مسیر مهارکننده‌های میلینی می‌تواند تمایز OPC ها را مهار کند. همچنین آنها با مهار مسیر سیگنالینگ Rho A و کیناز مربوط به آن که از افکتورهای گیرنده Nogo (NgR) است، نتایج مشابهی گزارش کردند؛ یعنی میزان تمایز OPC ها افزایش یافت و همچنین رشد نوریت عصبی در حضور مهار کننده‌های میلینی افزایش یافت [۱۳، ۱]. Karnezis و همکاران با مهار سیگنالینگ NOGO، یکی از پروتئین‌های مهاری میلین در مدل های MS، گزارش کردند که از آسیب آکسونی پیشگیری کرده و ترمیم آن افزایش می‌یابد [۲]. با توجه به یافته‌های فوق می‌توان نتیجه‌گیری کرد که در مدل موضعی دمیلیناسیون در کیاسمای بینایی نیز مهار PKC می‌تواند فرایند ترمیم میلین را تسریع کند و یا از ایجاد آسیب به شدت گروه لیزولستین جلوگیری کند. داده‌های ما به صورت بافت شناسی و عملکردی نشان می‌دهند

که فرایند ترمیم در گروه‌هایی که مهارگر PKC را دریافت کرده‌اند به طور قابل توجهی افزایش یافته و با توجه به یافته‌های فوق می‌توان نتیجه گرفت، تمایز OPC های حاضر در محل آسیب یا مهاجرت کرده از مخازن اطراف و یا حتی بطن‌های جانبی به محل آسیب افزایش یافته و ترمیم میلین را افزایش می‌دهد. البته ما در این مدل آسیب آکسونی نداشتیم ولی به هر حال مهار PKC می‌تواند فرایند ترمیم آکسونی را هم افزایش دهد. PKC در مسیر فعال شدن NgR فعال شده و حتی فعال شدن آن برای به راه افتادن مسیر سیگنالینگ NgR ضروری است. با توجه به این که اکثر مهار کننده‌های میلینی از طریق گیرنده NgR عمل می‌کنند، بنابراین منطقی به نظر می‌رسد که با مهار PKC، مهار مهار میلین و اجزای آن را شاهد باشیم [۱۳، ۲، ۱]. یافته‌های دیگر نشان می‌دهند که مهار PKC می‌تواند روی رفتار آستروسیت‌ها در فرایند ترمیم میلین اثر بگذارد، ولی در مورد وقایع مولکولی آن اطلاعات زیادی در دست نیست. شواهدی دال بر فعال شدن میکروگلیاها در مسیر سیگنالینگ Rho وجود دارد و این به نقش مثبت PKC و Rho A در فرایند ترمیم دلالت می‌کند که با فعال کردن میکروگلیاها و آستروسیت‌ها محیط را به نفع رمیلیناسیون تغییر می‌دهد، ولی آثار مهاری آنها بیشتر بوده بنابراین با مهار آنها افزایش فرایند ترمیم را شاهد هستیم [۱۳].

### نتیجه گیری

یافته‌های ما پیشنهاد می‌کنند که مهار PKC می‌تواند حتی به صورت حاد به دنبال دمیلیناسیون مفید باشد، زیرا با این ترتیب اثرات مهاری میلین‌های رها شده از عصب که هنوز توسط سیستم گلیایی در محیط تمیز نشده و نقش مهمی در مهار رمیلیناسیون دارد، کاهش می‌یابد. داده‌های اخیر می‌تواند یک راه برای تحقیقات بیشتر در زمینه اثر حذف فارماکولوژیک PKC در مهاجرت و تکثیر OPC ها و سلول‌های بنیادین مغزی علاوه بر فرایند تمایز آنها در مدل‌های حیوانی و حتی کلینیکی نظیر MS باز کند و همچنین می‌تواند هدف خوبی برای طراحی دارو باشد.

### تشکر و قدردانی

این پژوهش با حمایت دانشگاه تربیت مدرس و شبکه تحقیقات علوم اعصاب ایران انجام شد. از کمک‌های آقای امیر شجاعی در انجام بخش الکتروفیزیولوژی این کار قدردانی به عمل می‌آید.



## References:

- [1] Sivasankaran R, Pei J, Wang KC, Zhang YP, Shields CB, Xu XM, He Z. PKC mediates inhibitory effects of myelin and chondroitin sulfate proteoglycans on axonal regeneration. *Nat Neurosci* 2004; 7(3):261-8.
- [2] Karnezis T, Mandemakers W, Mc Qualter JL, Zheng B, Ho PP, Jordan KA, et al. The neurite outgrowth inhibitor Nogo A is involved in autoimmune-mediated demyelination. *Nat Neurosci* 2004; 7(7): 736-44.
- [3] Guazzo EP. A technique for producing demyelination of the rat optic nerves. *J Clin Neurosci* 2005; 12(1): 54-8.
- [4] Smith KJ, Blakemore WF, Mc Donald WI. Central remyelination restores secure conduction. *Nature* 1979; 280(5721): 395-6.
- [5] Prineas JW, Connell F. Remyelination in multiple sclerosis. *Ann Neurol* 1979; 5(1): 22-31.
- [6] Ghatak NR, Hirano A, Doron Y, Zimmerman HM. Remyelination in multiple sclerosis with preperal type myelin. *Arch Neurol* 1973; 29(4): 262-7.
- [7] Pavelco KD, Van Engelen BG, Rodriguez M. Acceleration in the rate of CNS remyelination in lysolecithin-induced demyelination. *J Neurosci* 1998; 18(7): 2498-505.
- [8] Spencer T, Domeniconi M, Cao Z, Filbin MT. New roles for old proteins in adult CNS axonal regeneration. *Curr Opin Neurobiol* 2003; 13: 133-9.
- [9] Yiu G, He Z. Signaling mechanism of the myelin inhibitors of axon regeneration. *Curr Opin Neurobiol* 2003; 13(5): 545-51.
- [10] Mukhopadhyay G, Doherty P, Walsh FS, Crocker PR, Filbin MT. A novel role for myelin associated glycoprotein as an inhibitor of axonal regeneration. *Neuron* 1994; 13(3): 757-67.
- [11] GrandPre T, Nakamura F, Vartanian T, Strittmatter SM. Identification of the Nogo inhibitor of axon regeneration as a reticulon protein. *Nature* 2000; 403(6768): 439-44.
- [12] Wang KC, Koprivica V, Kim JA, Sivasankaran R, Gao X, Neve RL, et al. Oligodendrocyte myelin glycoprotein is a Nogo receptor ligand that inhibits neurite outgrowth. *Nature* 2002; 417(6892): 941-4.
- [13] Baer AS, Syed YA, Kang SU, Mitteregger D, Vig R, Ferench-Constant C, et al. Myelin-mediated inhibition of oligodendrocyte precursor differentiation can be overcome by pharmacological modulation of Fyn-Rho A and protein kinase C signaling. *Brain* 2009; 132: 465-81.
- [14] Alt G, Ghabriel MN, Sikri K. Lysophosphatidyl Choline-induced demyelination a freeze-fracture study. *Acta Neuropathol* 1988; 75(5): 456-64.
- [15] Low PA, Schmelz JD, Yao JK, Dyck PJ, Parthasarathy S, Baumann WJ. Structural specificity in demyelination induced by lysophospholipids. *Biochem Biophys Acta* 1983; 754(3): 298-304.
- [16] Woodruff RH, Franklin RJ. Demyelination and remyelination of the caudal cerebellar peduncle of adult rats following stereotaxic injections of lysolecithin, ethidium bromide and complement/anti-galactocerebrin, a comparative study. *Glia* 1999; 25(3): 216-28.
- [17] Nait-Oumesmar B, Decker L, Lachapelle F, Avellana-Adalid V, Bachelin C, Van Evercooren AB. Progenitor cells of the adult mouse subventricular zone proliferate, migrate and differentiate in to oligodendrocyte after demyelination. *Eur J Neurosci* 1999; 11(12): 4357-66.
- [18] Paxinos G, Franklin KBJ. The mouse brain in stereotaxic coordinates. 2<sup>nd</sup> ed. Sandeigo, California, Academic press; 2004.
- [19] Lee JK, Kim JE, Sivula M, Strittmatter SM. Nogo receptor antagonism promotes stroke recovery by enhancing axonal plasticity. *J Neurosci* 2004; 24(27): 6209-17.
- [20] Chitnis T, Imitola J, Wang Y, Elyman W, Chawla P, Sharuk M, et al. Elevated neural expression of CD 200 protects wlds mice from inflammation-mediated neurodegeneration. *Am J Pathol* 2007; 170(5): 1675-712.
- [21] Goudarzvand M, Javan M, Mirnajafi zadeh J, Mozafari S, Taki T. Vitamins E and D3 attenuate demyelination and potentiate remyelination processes of hippocampal formation of rats following local injection of ethidium bromide. *Cell Mol Neurobiol* 2010; 30(2): 289-99.
- [22] Kamei C, Kuroda K, Fujiwara A, Takeda Y. Effects of narcotics, including morphine, on visual evoked potential in rats. *Eur J Pharmacol* 2009; 602(2-3): 294-7.
- [23] Ishikawa T, Fujiwara A, Takechi K, Ago J, Matsumoto N, Rahman MA, et al. Changes of visual evoked potential induced by lateral geniculate nucleus kindling in rats. *Epilepsy Res* 2008; 79: 146-50.
- [24] Skof RP, Price DL, Stocks A. Electron microscopic autoradiographic studies of gliogenesis in rat optic nerve. I Cell proliferation. *J Comp Neurol* 1976; 169(3): 291-312.
- [25] Lehman DM, Harrison JM. Flash visual evoked potentials in hypomyelinated mutant mouse shivere. *Doc Ophthalmol* 2002; 104(1): 83-95.
- [26] Hudnell HK, Boyes WK, Otto DA. Rat and human visual evoked potentials recorded under comparable conditions: a preliminary analysis to address the issue of predicting human neurotoxic effects from rat data. *Neurotoxicol Teratol* 1990; 12(4): 391-8.
- [27] Kotter MR, Setzu A, Sim FJ, Van Rooijen N, Franklin RJM. Macrophage depletion impairs oligodendrocyte remyelination following lysolecithin induced demyelination. *Glia* 2001; 35(3): 204-12.

[28] Lachapelle F, Bechelin C, Moissonnier P, Nait-Oumesmar B, Fontaine D, Baron-Van Evercooren A. Failure of remyelination in the non human primate optic nerve. *Brain Pathol* 2005; 15(3): 198-207.

[29] Kotter MR, Li WW, Zhao C, Franklin RJM. Myelin impairs CNS remyelination by inhibiting

oligodendrocyte precursor cell differentiation. *J Neurosci* 2006; 26: 328-32.

[30] Keller JN, Steiner MR, Holtsberg FW, Mattson MP, Steiner SM. Lysophosphatidic acid-induced proliferation-related signals in astrocytes. *J Neurochem* 1997; 69(3): 1073-84.